

図-1.6.4.2.2(2) 被災状況写真

#### (3) テストピット掘削調査結果

天端に発生したクラックの深度を確認するために、堤体決壊部の左岸側・右岸側に発生した天端クラックの2か所 (TP-1,2) 及び貯水池内でクラックが発生した2か所 (TR-1,2) における計4ヶ所でテストピット掘削調査が実施されている。TP-1,2 では、クラック深度は天端より-1.30m まで止まっており、深部まで達していない。また、貯水池内の TR-1,2 では、堆積土にのみクラックが発生し、池敷き内の基礎地盤には大きな損傷はないころが確認されている。

なお、下流法面については、テストピット掘削調査は実施されていないが、すべり崩壊した区間以外でも天端の亀裂は下流法面の法先亀裂につながり、すべり面を形成していると推測される。





**写真-4.4.2.1** TP-1 テストピット

写真-4.4.2.2 TR-1 テストトレンチ

# (4) ボーリング調査及び PS 検層

ボーリング調査から、堤体は3前後で、PS 検層によるせん断波速度 Vs は概ね 100m/sec である。一方、基礎地盤(礫混じり注・細砂)のN値は10前後で、PS 検層によるせん断波速度 Vs は200m/sec 程度が得られている。

# (5) 室内試験結果一覧表

室内試験は、次に示す試験が実施されており、堤体材料の試料は TP-1 及び TP-2 で採取されている。堤体材料の粒度曲線を下図に示す。

試験項目	試験内容	単位	テスト	ピット	合計
武	<b>武</b> 教四	半江	TP-1	TP-2	口间
現場密度試験	φ200mm, 砂置換法, 突砂法	孔	3	3	6
現場透水試験	φ200mm, 定水位法	"	3	3	6
土粒子の密度試験		試料	1	1	2
含水比試験		"	1	1	2
粒度試験	沈降分析まで	"	1	1	2
液性塑性限界試験		"	1	1	2
締固め試験	φ100mm, Ec=100%(含水比変化)	カーブ	1	1	2
三軸圧縮試験	撹乱試料:φ100mm, CU-bar	点	1	1	2

表-1.6.4.2.2 現場試験及び室内土質試験数量

表-1.6.4.2.3 試料採取テストピット

テストピット名	測線	試験位置 (深度 GLm)
TP-1	No. $2+14 \sim 18 \text{m}$	GL-2.6m
TP-2	No. $10+7\sim11m$	GL-2.6m

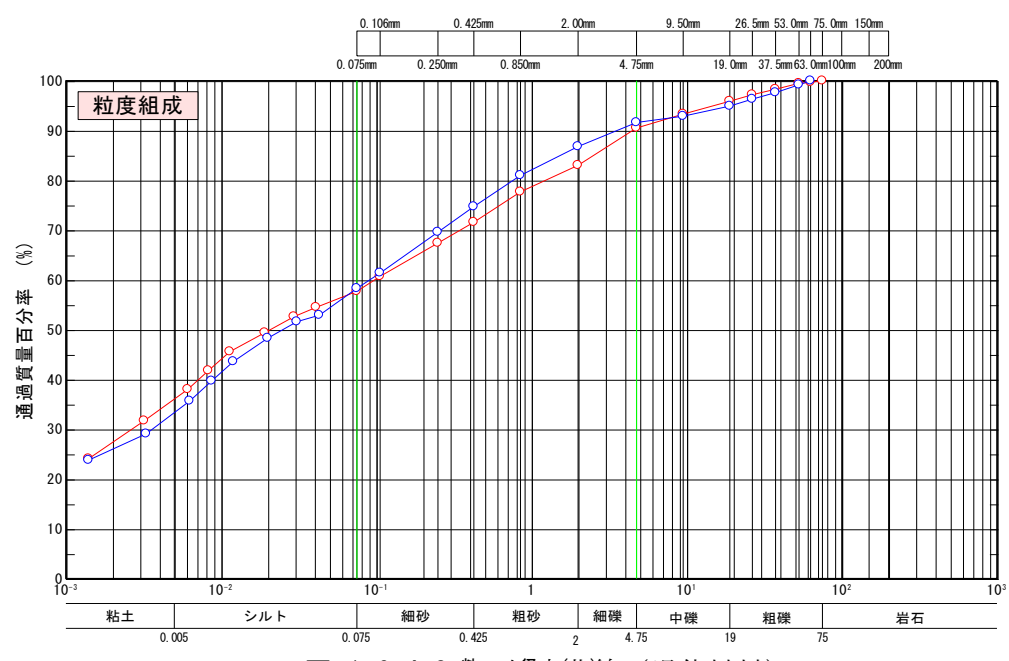


図-1.6.4.2.梦 糙度 触線 (堤体材料)

現場のコーン指数より含水比を換算して決めた締固め曲線を以下に示す。締固め度は平均値で D=90%である。ため池の築堤材料としては平均的値と考えられるが、大規模地震を想定する場合、締固め度は不足しおり、地震時には繰返しせん断応力を受けて、せん断強度の低下が生じると推測される。試験結果一覧を次頁に示す。

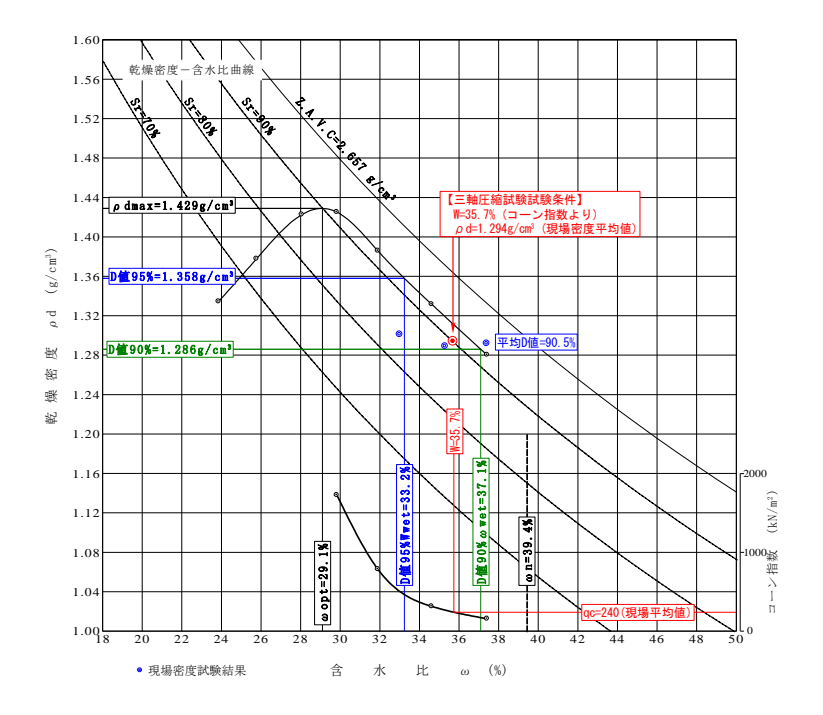


図-1.6.4.2.4 【TP-1】締固め曲線

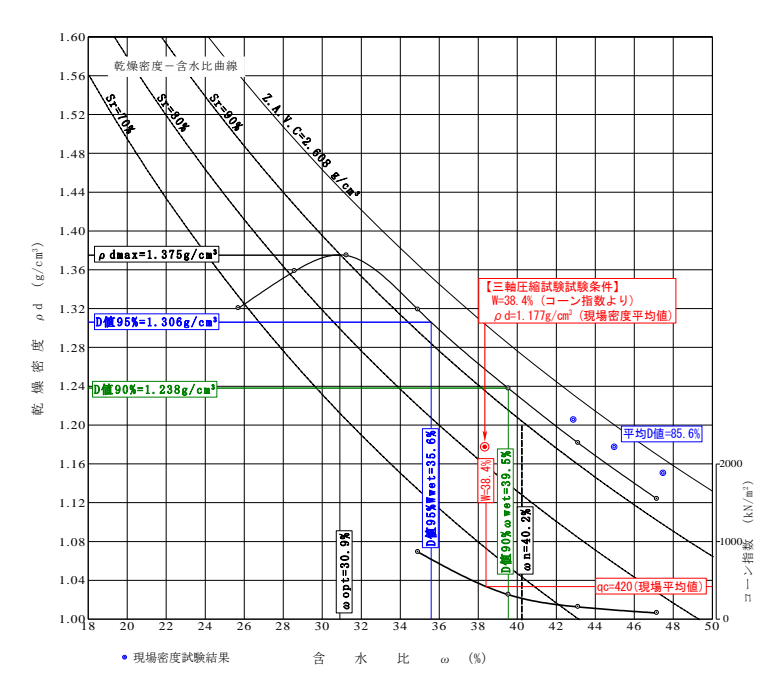


図-1.6.4.2.5 【TP-2】締固め曲線

表-1.6.4.2.4 室内土質試験一覧表(TP-1,2)

17.9

室内土質結緣(代表試料)	物理試験 力学試験	粒度試験 コンシステンシー (新国の試験(4100mm) 三軸試験(4100mm)	最大粒径 碟本 碟分 砂分 細粒分 (内訳) 液性限界 型性限界 型性指数 最適 最大 1.5 粘着力 摩擦角	Dmax P G S Fc 3	(%) (%) (%)	分音   17.0   25.3   57.7   21.5   36.1   62.0   24.4   37.6   29.1   1.429   1.294ビm <sup>3</sup>   20   18.7   18.7   18.7   19.8   18.7   19.8   18.7   19.8   18.7   19.8   18.7   19.8   18.7   19.8   18.7   19.8   18.7   19.8   19	提体開削調査	現場密度試験(女200mm, 突砂法) 現場 1 現場		水比 乾燥密度 篠平 礫比重 含水比 乾燥密度 間隙比 飽和度 締固め度 透水係数	on pod P+som Gbussom ω-som pod-som e Sr D√nd k	$(4/m^3)$	2.7   1.308   3.6   1.537   33.0   1.301   1.042   84.1   91.0   7.70E-06	5.9 1.322 7.9 1.814 37.4 1.292 1.057 94.0 90.4 1.80E-05	1,7 1,303 4,4 1,710 35,3 1,289 1,061 88,4 90,2 6,20E-06	1.311 5.3 1.687 35.2 1.294 1.053 88.8
		-	大粒径 礫率	max +4.75mm	(%)	9.5	提	現場密度試験(ゆ2)		全部 補田 無料	P <sub>+19mm</sub>		3.6	7.9	4.4	53
		*		Igmm 工学的分類		細粒分質 4 礫質砂 (SFG)			フルサイズ	含水比	t wn	(%)			34.7	
			1447 密度 34代	ps ωn-19πm	(g/cm³) (%)	2.657 39.4				温調密度 温調密度	No Pot	(t/m³)	No.1 1.736	No.2 1.796	No.3 1.755	_
			調査位置標高			TP-1 GL-2.6m		ı	1						;	

		式験( ゆ	粘着力	0	(kN/m	10																			
が上	기수라하	三種三	4 ************************************	2008年		ρd= 1.177t/m³ ω= 38.4%																			
		₹( ф 1 00mm)	最大 乾燥密度	ρ dmax	(%)	1.375																			
		締団の試験	最適含水比	ωopt		30.9																			
			塑性指数	_0		48.2																			
		ンシスチンシ		WP	%	24.0																			
		щ	液性限界	WL	8	72.2																			
東代表記科			凯)	井っ	8	33.3																			
八十萬武縣			(内)	ッ マゴ z	8	25.0																			
NH.			智粒分 含有率			58.3																			
小工田三十年余	WITERIA BY	粒度試験	砂分	S 20~0075mm	(%)	28.5																			
-			粒度詞	碟分	.G 75~20mm	%	13.2																		
				縣	P +4.75mm	(%)	8.4																		
																							最大粒径	Dmax	(mm)
				工学的分類		礫まじり 細粒分質砂 (SF-G)																			
		#	31000000000000000000000000000000000000	ω n⊣9mm	(%)	40.2																			
		土粒子 密度 Ps (g/cm³)			2.608																				
			咖			GL-2.6m																			
			調査位置			TP-2																			
	至心工具动脉(九衣刺科)	至/小工員和歌代表配科/ 試験 主/小工員和歌代表配科/	並出工員記録(N表記付が)   事権意請験 並以工員記録(4000mm)	土粒子 自然 第四の試験(4100mm)   土粒子 自然 本度試験 部間の試験(4100mm)   標高 密度 含木粒 一次システンシー 細粒分 細粒分 一次システンシー 細胞分 現本   標高 金木比 最大粒径 礫字 礫分 砂分 含有率 (内部) 液性限界 型性限界 型性指数 配置 最大	1	1																			

					1元 [작] 튀] 테이 且	自向目					
			現	現場密度試験(	Ř(φ200mm	、突砂法)					祖禮
		フルサイズ					碳補正				透水試験
虚	温識密度	含水比	乾燥密度	補正礫率	碟比重	含水比	補正 乾燥密度	間隙比	飽和度	締固め度	透水係数
ρt		e u	po	P+19mm	Gb <sub>H3mm</sub>	ω -19mm	ρ d⊣9mm	۵	S	口値	¥
ج.	(t/m³)	8	(t/m³)	8		8	(t/m³)		8	8	(cm/s)
I 🖳	.700	47.3	1.154	1.1	1.590	47.5	1,150	1.268	2.78	93.6	9.50E-06
5	8	44.8	1.180	0.7	1.768	45.0	1.177	1.216	96.5	85.6	8.70E-06
P-1	.728	42.4	1.213	3.2	1.536	42.9	1.205	1.164	96.1	87.6	8.30E-06
P~	2	44.8	1.182	1.7	1.631	45.1	1.177	1.216	96.8	85.6	8.80E-06

#### (6) 解析モデルと解析パラメータ

## 1) 解析モデル

ニューマークD法の簡易法における解析モデルは、設計標準断面図をもとに次のように 設定する。均一型のため、堤体は浸潤線より上の不飽和ゾーン(湿潤重量)と浸潤線以下の 飽和ゾーン (飽和重量) の 2 つのゾーンに区分する。基礎地盤は、N≦10 程度の礫混じり中・ 細砂であることから、東北地方・太平洋沖地震(平成23年3月11日)の地震で被災した際、 下流側の基礎地盤の過剰間隙水圧が上昇し、強度低下を起こして基礎地盤を通るすべりが発 生した可能性がある。そこで、ボーリング結果から基礎地盤(礫混り中・細砂)の層厚が 9m 程度以上あると想定されることから、基礎地盤の層厚を10 mに設定する。

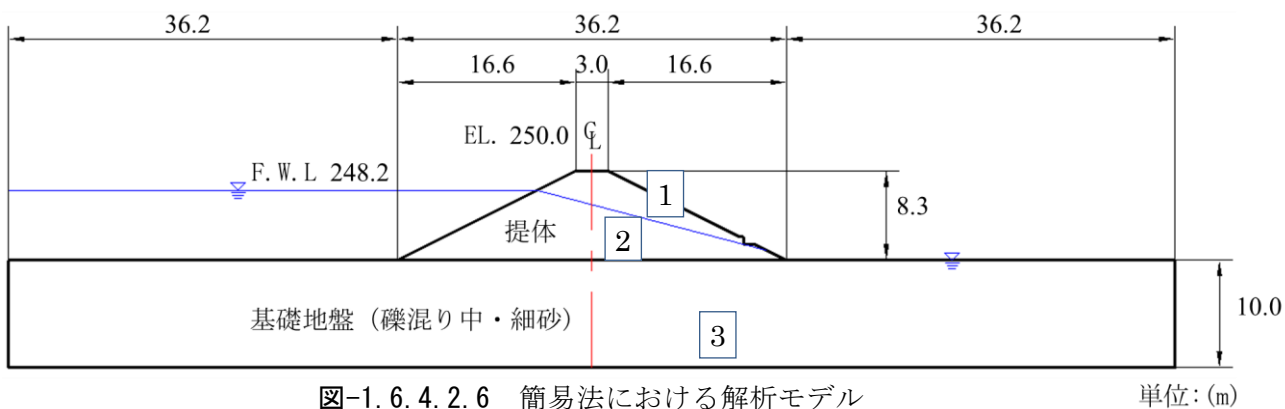


図-1.6.4.2.6 簡易法における解析モデル

#### 2) 解析パラメータ

試験結果をもとに簡易法の解析パラメータを次に示す。基礎地盤については、内部摩擦角 ΦはN値からΦ-材料として、換算N値から道路橋示方書・同解説/I共通編、IV下部構造編 の換算式を用い、27.4°と設定した。粘着力はゼロと仮定する。また単位体積重量は堤体飽 和重量と同じと仮定する。

ゾーン				パラメータ			
	単位体積 重量 γ (KN/m³)	全応力 内部摩 擦角 Φ(°)	全応力 粘着力 C (KN/m²)	礫率 +4.75mm P (%)	50%粒径 D <sub>50</sub> (mm)	細粒分 含有率 (%)	締固め度 D値 (%)
1 堤体 不飽和	17.02	22. 2	17. 5	0.45	0. 021	58.0	88. 1
2. 堤体 飽和	17. 32	22. 2	17. 5	045	0. 021	58.0	88. 1
3. 基礎	17. 32	27. 4	-	045	0.021	58. 0	88. 1

表-1.6.4.2.5 解析パラメータ

## (7) 入力地震波

## 1) 観測地震波形の選定

解析には工学的基盤相当の地震波形を用いることから、地中に地震計が設置されている KiK-net 観測点 (強震観測網;防災科学研究所)より観測波形を選定する。青田新池、KiK-net 観測点、東北地方太平洋沖地震の震央位置図を以下に示す。これより、青田新池に最も近く、



図-1.6.4.2.7 青田新池、KiK-net 観測点及び東北地方太平洋沖地震震央位置図

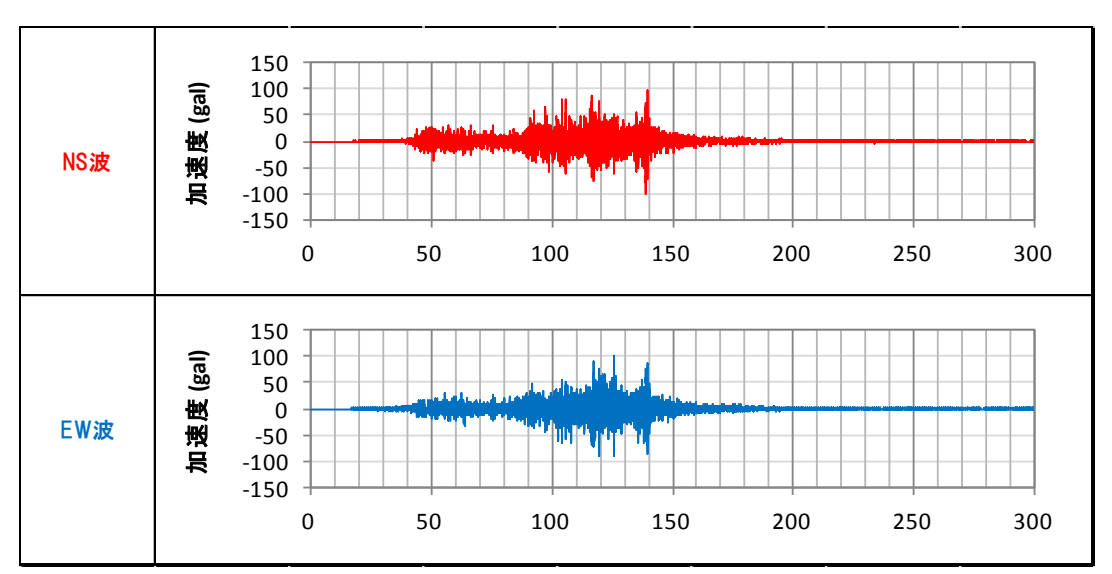


図-1.6.4.2.8 【KiK-net 三春(地中地震計)】 東北地方太平洋沖地震の観測波形

# 2) 距離減衰の検討

青田新池、KiK-net 三春の震央距離は、それぞれ 230km、215km となり、震央距離は青田新池の方が約 15km 大きくなる。そこで、青田新池地点の推定地震波形は、KiK-net 三春の観測波形に距離減衰を考慮して作成する。青田新池地点の地震波形作成フローを以下に示す。

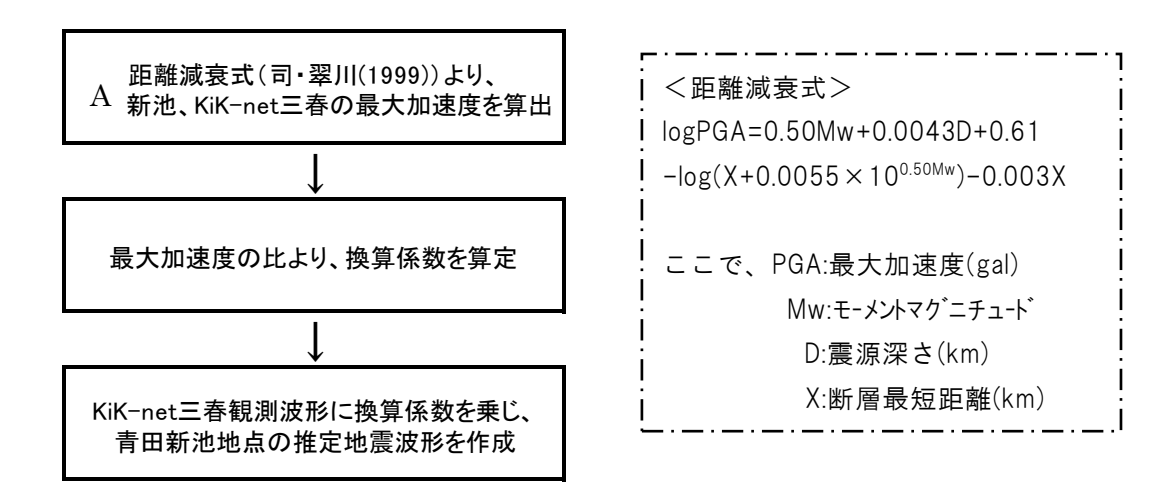


図-1.6.4.2.9 地震波形作成フロー及び距離減衰式

距離減衰式に使用するパラメータ及び算定結果は以下の通りである。断層最短距離の算出するためには断層面を設定する必要があるが、本地震の断層面は明確には示されていない。また、今回の距離減衰式算定は、2地点における最大加速度の比を算出することを目的としていることから、断層最短距離は震央距離を用いることとする。

M	D/I)	X(I	km)	PGA(gal)			
Mw	D(km)	Aため池	KiK-net三春	Aため池	KiK-net三春		
9	24	230	215	82.6	95.1		

表-1.6.4.2.6 距離減衰式パラメータ

よって、換算係数は 0.87 (=82.6/95.1) となる。

# 3) 青田新池地点の推定地震波形

KiK-net 三春の観測波形に換算係数 0.87 を乗じ、青田新池地点の地震波形を作成する。

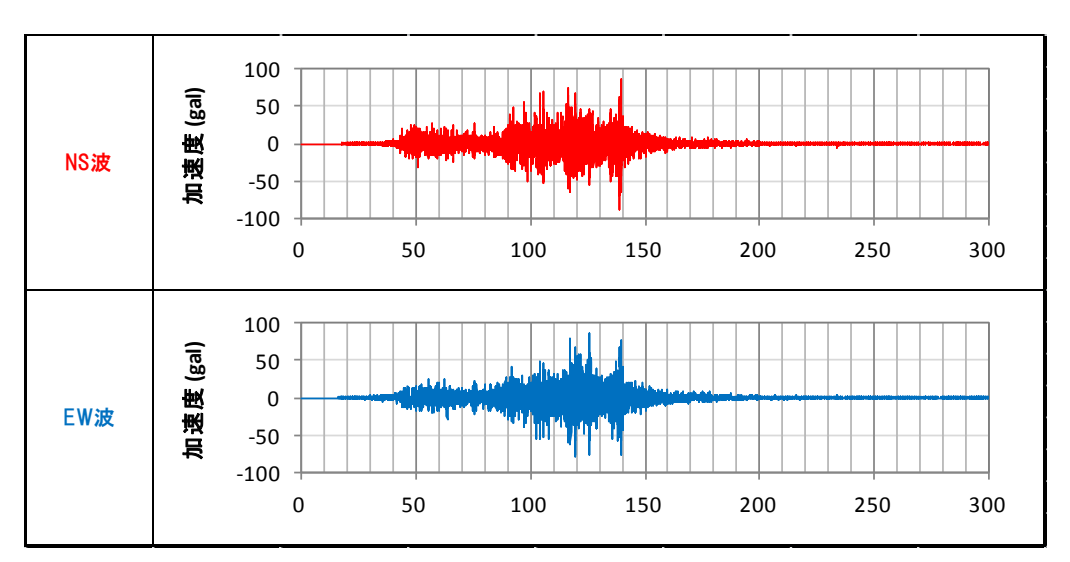


図-1.6.4.2.10 【青田新池地点】 東北地方太平洋沖地震の推定地震波形